

АЛГОРИТМ КОМПЕНСАЦИИ ИСКАЖЕНИЙ ЦВЕТА ПРИ ПЕЧАТИ

Аннотация. Предлагается вычислительный алгоритм компенсации искажений при печати, основанный на идее разбиения Делоне евклидова пространства.

Ключевые слова: разбиение Делоне, точечная решетка.

P. G. Kononenko

ALGORITHM FOR COMPENSATION OF COLOR DISTORTIONS DURING PRINTING

Abstract. A computational algorithm is proposed to compensate for printing distortions based on the idea of dividing the Euclidean space by Delaunay.

Key words: Delaunay partition, point lattice.

1. Введение

При создании художественных изображений на компьютере и их печати с помощью принтера на бумаге, на ткани или другом материале часто возникает такая проблема. Художник задумал и ввел в графический файл один цвет, а в результате печати неожиданно получил совсем другой. Могут ли такие разделы математики, как дискретная геометрия и методы вычислений, помочь в решении этой проблемы? Оказывается, могут.

2. Цветовое пространство *RGB*

Везде далее мы старались вести изложение максимально простым языком, и потому любые рассуждения следует воспринимать как имеющие «первое приближение» и нуждающиеся в уточнении.

Если в темноте смешать свет трех лучей: красного, зеленого, синего (англ. Red, Green, Blue — сокр. *RGB*) с яркостями, заданными соответствующими числовыми величинами (x_R, x_G, x_B) , которые могут независимо изменяться в диапазоне целых чисел $[0..255]$, то можно получить любой цвет, различаемый человеческим глазом. Таким образом, любой цвет — это точка с тремя координатами

$$\mathbf{x} = (x_R, x_G, x_B),$$

расположенная в 3-мерном пространстве \mathbb{R}^3 , снабженном прямоугольной декартовой системой координат с осями $Ox_R x_G x_B$. А если быть более точным, цветовые точки расположены в кубе

$$\begin{aligned} C &= [0..255]^3 = \\ &= \{\mathbf{x} = (x_R, x_G, x_B) \in \mathbb{Z}^3 \mid 0 \leq x_w \leq 255, w = R, G, B\}. \end{aligned}$$

3. Эмпирическая функция печати $f_\pi: \mathbb{R}^3 \rightarrow \mathbb{R}^3$

3.1. Определение эмпирической (табличной) функции f_π .

Предположим, что художник имеет в своем распоряжении принтер под именем « π » и пытается с ним работать. Он рисует на компьютере деталь изображения и закрашивает ее цветом $\mathbf{x} = (x_R, x_G, x_B) \in \mathbb{R}^3$. А после печати на принтере получает другой реальный цвет $\mathbf{y} = (y_R, y_G, y_B) \in \mathbb{R}^3$. (Значения чисел (y_R, y_G, y_B) можно получить, если сканировать полученное изображение на «очень хорошем» сканере, искажением которого мы пренебрегаем.) Таким образом, мы получаем эмпирически заданную функцию f_π , определенную работой принтера « π »:

$$\begin{aligned} f_\pi: C &\subseteq \mathbb{R}^3 \longrightarrow C \subseteq \mathbb{R}^3, \\ \mathbf{x} = (x_R, x_G, x_B) &\longmapsto \mathbf{y} = (y_R, y_G, y_B) = f_\pi(\mathbf{x}). \end{aligned}$$

Формулу этой эмпирической функции мы не знаем. Однако некоторые ее значения можем найти, проводя серию экспериментов с печатью, сканированием и заполняя следующую таблицу.

Таблица 1

Цвет, заданный художником в графическом файле	Цвет, полученный после печати на принтере « π » и сканирования
$\mathbf{x}_{(1)} = (x_{R(1)}, x_{G(1)}, x_{B(1)})$	$\mathbf{y}_{(1)} = (y_{R(1)}, y_{G(1)}, y_{B(1)})$
$\mathbf{x}_{(2)} = (x_{R(2)}, x_{G(2)}, x_{B(2)})$	$\mathbf{y}_{(2)} = (y_{R(2)}, y_{G(2)}, y_{B(2)})$
...	...

3.2. Мера искажения цвета при печати. Метрика.

Мера искажения цвета при печати может быть определена как расстояние между точкой $\mathbf{x} = (x_R, x_G, x_B)$, представляющей цвет, заданный художником в графическом файле, и цветовой точкой $\mathbf{y} = (y_R, y_G, y_B)$, полученной после печати и сканирования. В качестве расстояния можно взять всем привычную Евклидову метрику, вычисляемую по формуле:

$$d(\mathbf{x}, \mathbf{y}) = \sqrt{(x_R - y_R)^2 + (x_G - y_G)^2 + (x_B - y_B)^2}.$$

Очевидно, что $d(\mathbf{x}, \mathbf{y}) \geq 0$. При полном отсутствии искажения $d(\mathbf{x}, \mathbf{y}) = 0$, и увеличивается при росте искажений.

3.3. Цветовой портрет принтера.

Предположим, что, экспериментируя с принтером « π », мы перебрали все доступные цвета $\mathbf{x}_{(i)} = (x_{R(i)}, x_{G(i)}, x_{B(i)})$ ($i = 1, 2, \dots, N$) и заполнили таблицу 1 соответствующими значениями $\mathbf{y}_{(i)} = (y_{R(i)}, y_{G(i)}, y_{B(i)})$. Это потребовало бы проведения $N = 256^3 = 16\,777\,216 \approx 17$ млн испытаний.

Дадим геометрическую иллюстрацию гипотетически полученному результату. Все точки $\mathbf{x} = (x_R, x_G, x_B)$, как и прежде, заполняют цветовой куб $C = [0..255]^3 \subseteq \mathbb{R}^3$. А соответствующие им точки $\mathbf{y} = (y_R, y_G, y_B) = f(\mathbf{x})$ заполняют некоторую криволинейную область $C_\pi = f_\pi(C) \subseteq \mathbb{R}^3$, также расположенную внутри цветового куба $C \subseteq \mathbb{R}^3$.

Фигуру C_π будем называть *областью печати принтера « π »* или *цветовым портретом принтера « π »*, поскольку любые цвета $\mathbf{y} = (y_R, y_G, y_B)$, лежащие внутри области C_π , могут быть напечатаны на принтере « π ». А цвета, лежащие снаружи, напечатаны быть не могут.

3.4. Задача компенсации искажения цвета при печати.

Предположим, что художник хочет получить на бумаге цвет $\mathbf{y} = (y_R, y_G, y_B)$ из допустимой области C_π . И желает узнать, какой для этого цвет $\mathbf{x} = (x_R, x_G, x_B)$ ему следует разместить в графическом файле. Он мог бы найти соответствующий $\mathbf{y} = (y_R, y_G, y_B)$ в правой колонке нашей гипотетической таблицы 1, содержащей около 17 млн строк, и взять соответствующий ему $\mathbf{x} = (x_R, x_G, x_B)$ в левой части этой строки. То есть воспользоваться эмпирически (или таблично) заданной обратной функцией

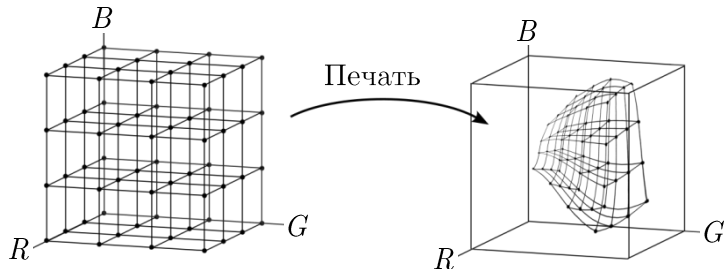
$$f_\pi^{-1}: (y_R, y_G, y_B) = \mathbf{y} \longmapsto f_\pi^{-1}(\mathbf{y}) = \mathbf{x} = (x_R, x_G, x_B).$$

Какие же проблемы мы видим при практическом использовании этого метода?

- а) Хранение в компьютере таблицы из 17 млн строк на сегодняшний день не так уж обременительно (потребуется всего около 98 МБ).
- б) Проведение 17 млн испытаний для домашнего принтера (да и для производственного) было бы слишком дорогим.
- в) Поиск в неупорядоченной таблице, содержащей 17 млн строк, при массовом использовании метода был бы слишком долгим.

4. Метод компенсации искажения цвета при печати

Следует составить сокращенную таблицу для меньшего количества точек $\mathbf{x}_{(i)} = (x_{R(i)}, x_{G(i)}, x_{B(i)})$, равномерно распределенных по кубу $C = [0..255]^3$. Например, можно взять их в узлах кубической решетки. Назовем эту систему L_X . Соответствующие им точки $\mathbf{y}_{(i)} = (y_{R(i)}, y_{G(i)}, y_{B(i)})$ образуют систему, которую назовем L_Y . В силу искажения при печати она выглядит как деформированная (согнутая и смятая) кубическая решетка. Если натянуть на каждую «клеточку» эластичную пленку, внутри получится выпуклая оболочка $\text{conv}\{L_Y\}$ множества L_Y . Эта оболочка представляет собой многогранник, близкий к области печати C_π принтера «π».



Мы построим приближенную обратную функцию

$$\widehat{f}_\pi^{-1}(\mathbf{y}): \text{conv}\{L_X\} = C \leftarrow \text{conv}\{L_Y\}$$

как линейную интерполяцию функции f_π^{-1} , заданную сокращенной таблицей на этих избранных точках $f_\pi^{-1}: \mathbf{y}_{(i)} \mapsto \mathbf{x}_{(i)}$.

Теперь подробнее. Если художник хочет получить на бумаге (или ткани) цвет $\mathbf{y}_0 = (y_{R_0}, y_{G_0}, y_{B_0})$, то среди точек $\mathbf{y}_{(i)} \in L_Y$ найдем четыре точки $\mathbf{y}_{(0)}, \mathbf{y}_{(1)}, \mathbf{y}_{(2)}, \mathbf{y}_{(3)}$, наиболее близкие к точке \mathbf{y}_0 , которые образуют тетраэдр (3-мерный симплекс), содержащий внутри эту точку. И пусть $\mathbf{x}_{(0)}, \mathbf{x}_{(1)}, \mathbf{x}_{(2)}, \mathbf{x}_{(3)}$ — соответствующие им точки сокращенной таблицы из множества L_X .

Составим барицентрическое разложение точки \mathbf{y}_0 по заданным точкам $\mathbf{y}_{(0)}, \mathbf{y}_{(1)}, \mathbf{y}_{(2)}, \mathbf{y}_{(3)}$:

$$\begin{aligned}\mathbf{y}_0 &= \lambda_0 \cdot \mathbf{y}_{(0)} + \lambda_1 \cdot \mathbf{y}_{(1)} + \lambda_2 \cdot \mathbf{y}_{(2)} + \lambda_3 \cdot \mathbf{y}_{(3)}, \\ \lambda_0 + \lambda_1 + \lambda_2 + \lambda_3 &= 1, \quad \lambda_0, \lambda_1, \lambda_2, \lambda_3 \geqslant 0\end{aligned}\tag{1}$$

(такие числа $\lambda_0, \lambda_1, \lambda_2, \lambda_3$ существуют и вычисляются однозначно по известным формулам, см. [1, 3]).

Осталось лишь еще раз написать разложение (1), сохранив значения коэффициентов $\lambda_0, \lambda_1, \lambda_2, \lambda_3$ и заменив точки $\mathbf{y}_{(i)}$ на $\mathbf{x}_{(i)}$. И мы получим ответ к нашей задаче. Это цветовая точка $\hat{\mathbf{x}}_0$, которую художник должен разместить в графическом файле, чтобы при печати на принтере «π» получить желаемый цвет \mathbf{y}_0 (с точностью до погрешности линейной интерполяции). Итак,

$$\hat{\mathbf{x}}_0 = \lambda_0 \cdot \mathbf{x}_{(0)} + \lambda_1 \cdot \mathbf{x}_{(1)} + \lambda_2 \cdot \mathbf{x}_{(2)} + \lambda_3 \cdot \mathbf{x}_{(3)}.\tag{2}$$

Остается нерешенной лишь одна, как ни странно, вычислительная сложная задача: как выбрать подходящие точки $\mathbf{y}_{(0)}, \mathbf{y}_{(1)}, \mathbf{y}_{(2)}, \mathbf{y}_{(3)}$ в системе L_Y . Ее решение мы найдем в идее построения разбиения Делоне пространства \mathbb{R}^3 , заданного конечной системой точек $L_Y \subseteq \mathbb{R}^3$.

5. Разбиение Делоне

Точки $\mathbf{y}_{(0)}, \mathbf{y}_{(1)}, \mathbf{y}_{(2)}, \mathbf{y}_{(3)}$ из конечной системы $L_Y \subseteq \mathbb{R}^3$ являются вершинами 3-мерного симплекса (тетраэдра) Делоне, если существует шар, который: а) содержит их на своей поверхности, б) не содержит внутри ни одной точки системы L_Y . В общем случае говорят о многогранниках Делоне, которые могут содержать более четырех вершин. Однако в нашем случае точки $\mathbf{y}_{(i)} \in L_Y$ случайны и попадание более четырех из них на одну сферу маловероятно. Поэтому мы будем считать все многогранники Делоне тетраэдрами.

Выпуклая оболочка множества точек L_Y оказывается целиком заполнена такими тетраэдрами без пересечений. Соседние тетраэдры могут иметь лишь общую вершину, ребро или 2-мерную грань. Это и есть разбиение Делоне области $\text{conv}\{L_Y\}$.

Однако на практике вычислять и хранить в компьютере целиком все разбиение Делоне, заданное системой точек L_Y , было бы долго и неэффективно. Нам нужен лишь один тетраэдр, содержащий точку \mathbf{y}_0 (цвет, задуманный художником). Идею решения мы найдем в статье Б. Н. Делоне [2] за 1937 г., в которой он предлагает так называемый «метод пустого шара» для построения разбиения, впервые введенного им в этой же статье.

6. Поиск тетраэдра Делоне, содержащего точку \mathbf{y}_0

Начнем с цитаты из статьи [2].

«Рассмотрим шар, — увеличивающийся, уменьшающийся и как угодно передвигающийся между точками системы L_Y [авторские обозначения изменены], — подчиненный лишь одному условию: не содержать внутри себя точек этой системы. Мы будем называть такой шар пустым. Начнем увеличивать радиус пустого шара, оставляя его центр на месте, пока шар не наткнется своей поверхностью на какую-нибудь точку системы L_Y ».

мы L_Y . <...> Будем теперь дальше увеличивать радиус пустого шара, отодвигая его центр от этой точки или, если точек, на которые он наткнулся, было сразу несколько, — от того линейного подпространства, которое определяется этими точками. Продолжая так дальше, мы убедимся, что в системе L_Y существует пустой шар, на поверхности которого лежит n -мерный [здесь 3-мерный] комплекс точек этой системы <...>, содержащий не менее $n + 1$ точки [здесь четырех точек].»

Начав с точки y_0 как центра пустого шара, мы получим первичный тетраэдр Делоне $S_{(0)}$, одна из вершин которого является ближайшей к y_0 точкой системы L_Y .

Теперь вычислим коэффициенты $\lambda_0, \lambda_1, \lambda_2, \lambda_3$ барицентрического разложения (1) относительно вершин $S_{(0)}$. Если все они неотрицательны, то точка y_0 уже лежит внутри тетраэдра $S_{(0)}$. Значит, мы получили желаемое, и процесс завершен.

В противном случае возьмем наименьшее λ_i из отрицательных значений $\lambda_0, \lambda_1, \lambda_2, \lambda_3$. Значит, точка y_0 лежит с внешней стороны от грани F_i тетраэдра $S_{(0)}$, полученной выкидыванием i -й вершины $y_{(i)}$. И притом наиболее удалена от плоскости грани по сравнению с другими гранями. Аналогично предыдущему будем смещать центр пустого шара в сторону внешней нормали грани F_i , опираясь на ее вершины, пока не наткнемся на вершину соседнего тетраэдра $S_{(1)}$.

Будем продолжать таким образом, переходя от одного тетраэдра Делоне к другому, приближаясь к точке y_0 , пока не «поймаем» точку y_0 внутри очередного тетраэдра $S_{(k)}$. Либо не придет к такой ситуации, когда во внешнем полупространстве очередной грани F_i не найдется ни одной точки системы L_Y .

Последний исход означает, что точка y_0 лежит вне выпуклой оболочки $\text{conv}\{L_Y\} \approx C_\pi$ множества L_Y . То есть художник задумал цвет y_0 , лежащий вне области печати принтера « π », и он не может быть напечатан. В этом случае в качестве утешения мы можем предложить ему цвет \tilde{x}_0 , полученный по формуле (2), в которой все отрицательные коэффициенты $\lambda_0, \lambda_1, \lambda_2, \lambda_3$ заменены нулями. То есть цветовую точку \tilde{x}_0 , ближайшую желаемому цвету y_0 из области печати C_π принтера « π ». Такой результат следует снабдить величиной предполагаемого искажения цвета $d = d(\tilde{x}_0, y_0)$, которая выходит за рамки погрешности линейной интерполяции.

Библиографический список

1. Балк М. Б., Болтянский В. Г. Геометрия масс. М.: Наука, 1987. 160 с. (Библиотека «Квант». Вып. 61).
2. Делоне Б. Н. Геометрия положительных квадратичных форм // Успехи математических наук. 1937. Вып. 3. С. 16–62.
3. Кострикин А. И., Манин Ю. И. Линейная алгебра и геометрия: Учеб. пособ. для вузов. 2-е изд., перераб. М.: Наука, 1986. 304 с.

Информация об авторе / Information about the author

Кононенко Павел Геннадьевич – кандидат физико-математических наук, доцент кафедры фундаментальной математики, Ивановский государственный университет, г. Иваново, Россия, konon-pg@yandex.ru

Kononenko Pavel Gennadievich – Candidate of Physical and Mathematical Sciences, Associate Professor of the Department of Fundamental Mathematics, Ivanovo State University, Ivanovo, Russia, konon-pg@yandex.ru